

## NÜMERİK YÖNTEMLERDE HATA ANALİZİ VE BİR NÜMERİK ÇÖZÜM PAKETİNİN HAZIRLANMASI

**Selma YÜNCÜ\***, **Cihan ASLAN\*\***

\* Elektrik Elektronik Mühendisliği Bölümü, Mühendislik Mimarlık Fakültesi,  
Gazi Üniversitesi, Maltepe 06570 Ankara, [yuncu@mmf.gazi.edu.tr](mailto:yuncu@mmf.gazi.edu.tr)

\*\* Şeker Bilişim Sanayi A.Ş. [ascihan@yahoo.com](mailto:ascihan@yahoo.com)

### ÖZET

Bu çalışmada nümerik hataların analizi yapılarak örnekler verilmiştir. Ayrıca Bairstow kök bulma, Gauss yok etme, LU-Crout çözümlene, Cubicspline enterpolasyon, Romberg integral, Runge-Kutta yöntemlerinin programları C++ ile yazılmış, görsel nitelikli nümerik çözüm paketi haline getirilmiştir. Yazılan programlar normal, çift duyarlıklı ve uzun çift duyarlıklı değişken tipleri ile örneklendirilerek, sonuçlar çizelgeler ile birlikte sunulmuş, gerçek değerleri bilinen örneklerde hatalar hesaplanmıştır.

**Anahtar Kelimeler:** Nümerik analiz, nümerik hata, C++

### ERROR ANALYSIS OF NUMERICAL METHODS AND PREPARATION OF A NUMERICAL SOLUTION PACKAGE

### ABSTRACT

In this study, numerical error analysis was made and samples were provided. Additionally, programs for: Bairstow root finding, Gauss elimination method, LU - Crout analysis, Cubicspline interpolation, Romberg integral and Runge - Kutta methods were written with C++ and made into a visual interface numerical solution package. Samples of the written programs were given in float, double and long double variable types and the results were presented as drawings, and errors in the sample calculations were determined from samples with known real values.

**Keywords:** Numerical analysis, numerical error, C++

## GİRİŞ

Nümerik yöntemler matematik problemlerinin formüle edilip, aritmetik işlemlerle çözülmesini sağlayan tekniklerdir. Çok sayıda ve türde nümerik yöntemler bulunduğu halde hepsinin özelliği çok miktardaki sıkıcı aritmetik işlemlerin yapılmasıdır. 1940 larda bilgisayarların bulunmasıyla birlikte nümerik yöntemlerin verimli şekilde kullanılması ve gelişmesi mümkün olmuştur. Son yıllarda mühendislik problemlerinin nümerik yöntemlerle çözüm yollarının artışında, yüksek hızlı ve verimli bilgisayarların gelişmesinin rolü büyüktür [1]. Bu konuda son zamanlarda literatürde bulunan çalışmalardan bir kısmı aşağıdadır.

1990 yılında Rekha P. Kulkarni ve Balmohan V. Limaye [2], Schrölinger operatörünün basit eigen değeri ve buna uygun dalga fonksiyonunun ,başlangıç değeri olarak Sloan 'ın Galerkin yönteminin iterasyonu ile yaklaşımı kullanılmıştır.

1995 yılında L. Banks-E.Chu [3], büyük sistemlerin lineer denklemlerin çözümünde yeni bir paralel iteratif algoritması sunmuşlardır.

1998 yılında X.-W. Chang [4],  $A=LU$  matrisi içerisinde,  $A$  gibi norm değeri yeterince küçük katsayıların LU faktörizasyon analizi ile elde edilen hassasiyetini incelemiştir.

1998 yılında, P. Langlois -F. Nativel [5], kayan nokta aritmetiğinde yuvarlatma hatalarının kontrolü ve azaltılması için yöntem sunmuşlardır.

2000 yılında M.Calvo-S.Gonzales-J.I.Montijano [6], cebirsel denklemlerde iterasyon çözümlerde Runge-Kutta yöntemini uygulamışlardır.

2000 yılında Chaya Gurwitz [7], quasi-newton yöntemlerinde kesme hatalarının, quasi-newton yönteminin yaklaşımında sınırsız biçimde artacağını göstermiştir.

2000 yılında T.G. Robertazzi ve S.C. Schwartz [8], sonlu yaklaşım aritmetiğinde kayan noktalı toplama işlemlerinin yapıldığı zaman, hassasiyet sonucunda doğru toplama sırasının etkisinin testini yapmıştır.

## 2. NÜMERİK YÖNTEMLERDE HATALAR

Nümerik yöntemlerde hatalar başlıca kesme ve yuvarlatma hataları olarak iki gurup altında incelenirler.

### 2.1. Kesme Hataları

Matematik işlemler yerine, yaklaşık olanlarının alınmasıyla ortaya çıkan hatalardır. Bu hata türüne örnek olarak Taylor serisinin açılımıyla yapılan hatayı gösterebiliriz.

Taylor açılımına göre bir  $f$  fonksiyonu ve onun ilk  $n+1$  aralığındaki türevleri  $x_{i+1}$  ve  $x_i$  aralığında sürekli ise,  $x_{i+1}$  deki fonksiyonun değeri,  $h = x_{i+1} - x_i$  olarak alındığında, formül (2.1) göre bulunur.

$$f(x_{i+1}) = f(x_i) + f'(x_i)h + \frac{f''(x_i)}{2!}h^2 + \dots + \frac{f^{(n)}(x_i)}{n!}h^n + R_n \quad (2.1)$$

Taylor serisinde  $n$  inci terime kadar alınan toplamda  $R_n$  kesme hatasını verir. Eşitlik 2.2 yapılan hatayı gösterir.

$$R_n = \frac{f^{(n+1)}(\xi)}{(n+1)!}h^{n+1} \quad (2.2)$$

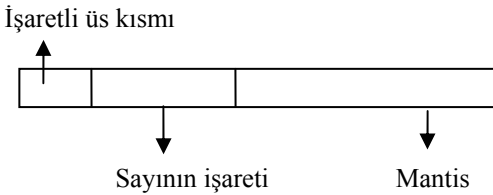
Formül 2.2'de  $\xi$   $x_{i+1}$  ile  $x_i$  arasında yeri belirlenmeyen bir yerde bulunmakta,  $f^{(n+1)}$  ise  $f$  fonksiyonunun  $n+1$ 'inci derecedeki türevi olmakta ve bilinmemektedir. Bu durumda eşitlik 2.2 nin değeri tam olarak bulunamasa da  $R_n$ 'in, adım uzunluğu  $h^{n+1}$  ile doğru orantılı olduğu görülmektedir. Bu ise kesme hatasını azaltmanın adım uzunluğunu küçültmekle mümkün olacağını gösterir.

## 2.2. Yuvarlatma Hataları

Bilgisayarlar fiziksel yapılarından dolayı sayıların sadece bir kısmını belleklerinde saklayabilirler. Tam ve kesirli sayılar belleklerde kelime (word) yapısında tutulurlar. Tam sayılar 1 kelimedede yerleşirken kesirli sayılar en az iki kelimeye yerleşirler. Kelime yapısı 1 byte (16 bit) olan bilgisayarlarda en küçük sayı -32767, en büyük sayı ise +32768 dir. Bu sayılardan daha küçük veya büyük olanlar ise kesirli sayı olarak  $mb^e$  formatında Şekil 2.1'deki gibi bulunurlar. Burada  $m$  mantis  $b$ =taban  $e$ =üsttür. Mantis  $0 \leq m < 1$  aralığındadır.

Mantis kısmında rasyonalize halinde saklanan sayılar özellikle iterasyonla yapılan işlemlerde yuvarlatma hatalarına sebep olurlar. Bu hataları azaltmak için programlamalarda mantis kısmının hassasiyetini iki kat artıran çift duyarlıklı değişkenler kullanılır.

Ayrıca kesirli sayıların işlemlerinde atma (chopping) ve yuvarlatma (rounding)



**Şekil 2.1.** Kesirli sayıların bilgisayarda yerleşme şekli.

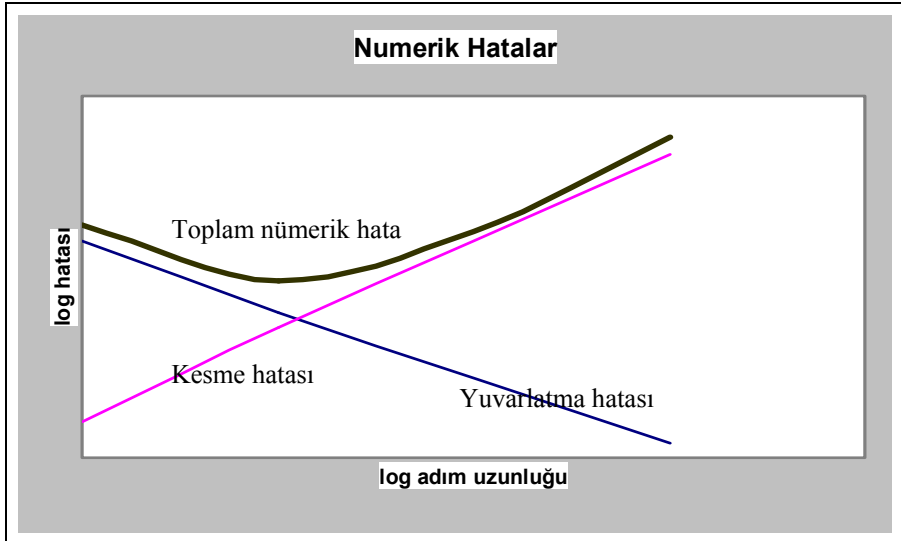
kullanırlar. Örneğin 6.7894856 gibi bir sayının 7 hanesi kullanılacaksa yuvarlatmada 6.789486 olurken atmada 6.789485 olur. Duyarlılığı fazla olan günümüz bilgisayarlarında atma yöntemi tercih edilmektedir; zira yuvarlatma için harcanan zaman çok fazla olmaktadır.

### 2.3. Toplam Nümerik Hata

Bilgisayarda işlem yaparken kesme ve yuvarlatma aynı anda yapılıyorsa, örneğin matematiksel bir açılımın ilk  $n$  parçası alınıyor ve işlemlerde yuvarlatma yapılıyorsa, iki hatanın toplamı olan hata toplam nümerik hatadır. Bu hataya hem kesmenin hem de yuvarlatmanın etkisi vardır. Genelde kesme hatalarını azaltmak için formül 2.2'deki  $h$  adım uzunluğunun azaltılması gerekir. Adım uzunluğu olan  $h$  değerinin azalması da yuvarlatma hatalarının artmasına sebep olacaktır. Şekil 2.2'de görüldüğü gibi toplam hatanın belirli bir noktadan sonra arttığı görülmektedir [1].

Gerek kesme, gerekse yuvarlatma hatalarında gerçek ve yaklaşık hata tanımları yapılır.

Gerçek hata bilgisayarlarda programı yazılan yöntemlerin doğruluğunu ispatlamak için, gerçek değeri bilinen durumlarda kullanılır. Nümerik hesaplamalarda gerçek değer bilinmediği için, özellikle iterasyonla yapılan işlemlerde de yaklaşık hata kullanılır. İngilizce true ve approximate kelimelerinin baş harfleri alınarak  $\% \varepsilon_t$  ve  $\% \varepsilon_a$  tanımları aşağıdaki gibi yapılır.



Şekil 2.2. Toplam nümerik hata.

$\varepsilon_r$  = gerçek hata / gerçek değer

$\varepsilon_a$  = (Şu andaki yak. değer-bir önceki yak.değer )/Şu andaki yak.değer)\*100

Ayrıca iterasyon yapılan programlarda, n belirli hanenin doğru olmasını sağlayan formül 2.3'teki  $\varepsilon_s$  kullanılır.

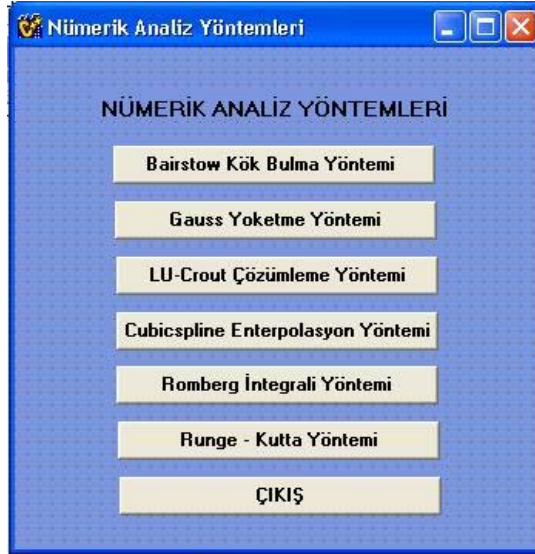
$$\varepsilon_s = (0.5 * 10^{2-n})\% \quad (2.3)$$

İterasyon işlemleri  $|\varepsilon_a| < |\varepsilon_s|$  olana kadar devam eder. Bu kriter işlemlerde ancak  $|\varepsilon_r| < |\varepsilon_a|$  olması durumunda kullanılır.

### 3. PAKET PROGRAMLAR

Bu çalışmada özellikleri aşağıda açıklanan nümerik yöntemlerle ilgili bir program paketi hazırlanmıştır [9]. C++ Builder ile yazılmış olan bu programa Şekil 3.1'deki bir anamenü yardımıyla ulaşılır. Bunlar:

- Bairstow kök bulma yöntemi
- Gauss yoketme yöntemi
- LU Crout çözümlene yöntemi
- Cubikspline enterpolasyon yöntemi
- Romberg integral alma yöntemi
- Runge Kutta adi diferansiyel çözümü yöntemi



Şekil 3.1. Nümerik analiz yöntemleri menüsü.

Bu programlarda yuvarlatma hatalarını minimuma indirmek için değişkenlerin bir kısmında çift duyarlıklı tanımlar yapılmıştır. Ayrıca programlar, normal (float), çift duyarlıklı (double) ve uzun çift duyarlıklı (long double) ile ayrı, ayrı çalıştırılarak sonuçlardaki farklar her yöntemin sonunda tablolarda gösterilmiştir.

### 3.1. Bairstow Yöntemi

Bairstow yöntemi bir kök bulma yöntemidir. Bu yöntemin diğer kök bulma yöntemlerine göre üstünlüğü gerçel kökleri bulduğu gibi sanal kökleri de bulmasıdır.

$$f_n(x) = a_0 + a_1x + a_2x^2 + \dots + a_nx^n \quad (a_i \text{ gerçel sayı olmak üzere})$$

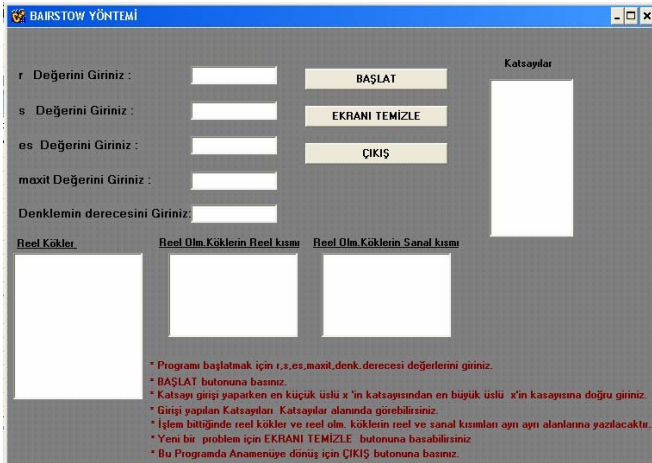
şeklinde verilen bir polinomun derecesi n tek ise, köklerden birisi mutlaka gerçeldir. Kalan kökler gerçel veya sanal olabilir. Eğer kökün biri sanal ise, diğer kök de mutlaka bu kökün eşleniği olan sanal bir sayıdır.

Bairstow yönteminde iterasyona başlamak için s ve r başlangıç noktaları alınır. Her adımdaki r ve s değerlerinin hesaplanan yaklaşık hatası aşağıdaki formüllerle bulunur.

$$|\varepsilon_{a,r}| = |\Delta r|/|r|100\%$$

$$|\varepsilon_{a,s}| = |\Delta s|/|s|100\%$$

Bu hatalar formül (2.3)  $\varepsilon_s$  kriter hatasından küçük olana kadar iterasyona devam eder. Bu yöntemde r ve s değerlerinin başlangıç değerlerinin seçilmesi önemlidir. Sonsuz döngüye girilmemesi için programa maksimum iterasyon sayısı konmuştur [1,10].



Şekil 3.2. Bairstow yöntemi programı.



### 3.2. Gauss Yoketme Yöntemi

$$a_{11}x_1 + a_{12}x_2 + \dots + a_{1n}x_n = c_1$$

$$a_{21}x_1 + a_{22}x_2 + \dots + a_{2n}x_n = c_2$$

$$\dots\dots\dots$$

$$a_{n1}x_1 + a_{n2}x_2 + \dots + a_{nn}x_n = c_n$$

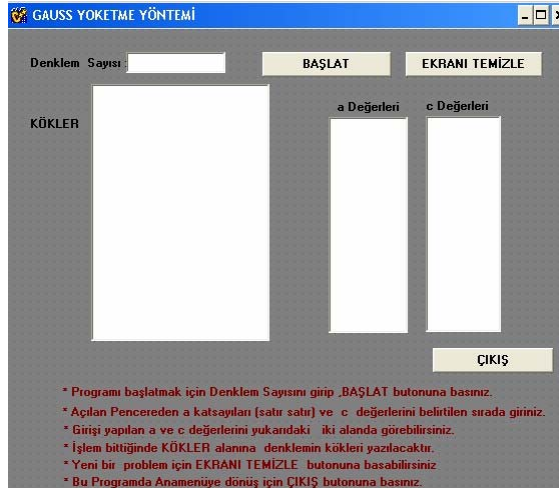
ile verilen denklem sistemi belirli bir algoritma ile yapılan cebrik işlemlerle bilinmeyen  $x$  vektorleri çözülür. Denklem sistemi rastgele (hiçbir işlem yapılmadan) çözümlürse sıfıra bölme ve yuvarlatma hataları ortaya çıkar. Bu olumsuzlukları önlemek için denklem sistemini çözmeden önce pivotlama daha çok yarı pivotlama yapılır. Pivotlama sıfıra bölmeyi önlediği gibi yuvarlatma hatlarını da azaltır [1].

Ana menüden 2. buton çalıştırılarak Şekil 3.3'teki Gauss Yoketme menüsüne ulaşılabilir.

Örnek 3.2.

A =

|        |        |        |         |        |        |
|--------|--------|--------|---------|--------|--------|
| 7.6300 | 0.3000 | 0.1500 | 0.5000  | 0.3400 | 0.8400 |
| 0.3800 | 6.4000 | 0.7000 | 0.9000  | 0.2900 | 0.5700 |
| 0.8300 | 0.1900 | 8.3300 | 0.8200  | 0.3400 | 0.3700 |
| 0.5000 | 0.6800 | 0.8600 | 10.2100 | 0.5300 | 0.7000 |
| 0.7100 | 0.3000 | 0.8500 | 0.8200  | 5.9500 | 0.5500 |
| 0.4300 | 0.5400 | 0.5900 | 0.6600  | 0.3100 | 9.2500 |



Şekil 3.3. Gauss yoketme yöntemi programı.



$C = [-9.4400, 25.2700, -48.0100, 19.7600, -23.6300, 62.5900]^T$   
Gerçek Değerler = -2 4 -6 2 -4 7

**Tablo 3.3.** Örnek 3.2'nin Gauss yoketme yöntemi ile ve değişik değişken türleri kullanılarak elde edilen çözümünün sonuçları.

|    | C Float              | C Long Double        |
|----|----------------------|----------------------|
| X1 | -1.99999988079071045 | -1.99999999999999950 |
| X2 | 4.00000000000000000  | 3.99999999999999640  |
| X3 | -6.00000000000000000 | -5.99999999999999710 |
| X4 | 2.00000023841857910  | 1.99999999999999970  |
| X5 | -3.9999997615814209  | -3.99999999999999830 |
| X6 | 7.00000000000000000  | 7.00000000000000320  |

|    | C++ Float            | C++ Long Double      | G. |
|----|----------------------|----------------------|----|
| X1 | -1.99999988790710450 | -1.99999999999999950 | -2 |
| X2 | 4.00000000000000000  | 3.99999999999999640  | 4  |
| X3 | -6.00000000000000000 | -5.99999999999999710 | -6 |
| X4 | 2.00000023841857910  | 1.99999999999999970  | 2  |
| X5 | -3.99999976158142090 | -3.99999999999999830 | -4 |
| X6 | 7.00000000000000000  | 7.00000000000000320  | 7  |

**Tablo 3.4.** Örnek 3.2'nin Gauss yoketme yöntemi ile ve değişik değişken türleri kullanılarak elde edilen çözümünün sonuçlarının hataları.

|    | %Hata C Float          | %Hata C Long Double    |
|----|------------------------|------------------------|
| X1 | 0.00000596046447753906 | 0.00000000000000000000 |
| X2 | 0.00000000000000000000 | 0.0000000000001110223  |
| X3 | 0.00000000000000000000 | 0.00000000000000000000 |
| X4 | 0.00001192092895507812 | 0.00000000000000000000 |
| X5 | 0.00000596046447753906 | 0.00000000000000000000 |
| X6 | 0.00000000000000000000 | 0.00000000000000000000 |

|    | %Hata C++ Float        | %Hata C++ LD           |
|----|------------------------|------------------------|
| X1 | 0.00000596046447753906 | 0.00000000000000000000 |
| X2 | 0.00000000000000000000 | 0.00000000000011102230 |
| X3 | 0.00000000000000000000 | 0.00000000000000000000 |
| X4 | 0.00001192092895507812 | 0.00000000000000000000 |
| X5 | 0.00000596046447753906 | 0.00000000000000000000 |
| X6 | 0.00000000000000000000 | 0.00000000000000000000 |

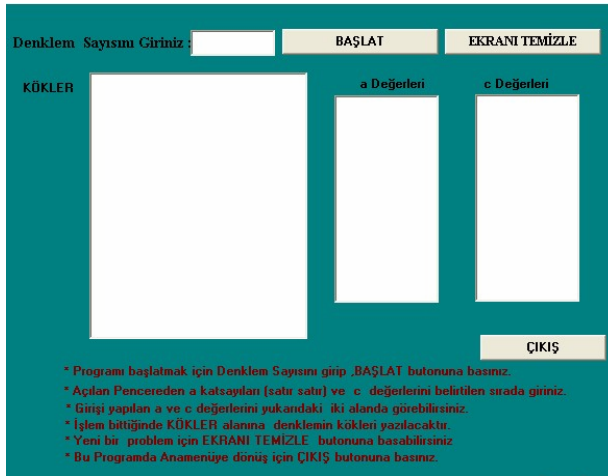
### 3.3. LU -Crout Çözümleme Yöntemi Programı

Bu yöntemde katsayılar matrisi olan kare matris biri alt üçgen, diğeri ise üst üçgen olarak aşağıda görüldüğü gibi iki matrise ayrılır.

$$\begin{bmatrix} a_{1,1} & a_{1,2} & a_{1,3} \\ a_{2,1} & a_{2,2} & a_{2,3} \\ a_{3,1} & a_{3,2} & a_{3,3} \end{bmatrix} = \begin{bmatrix} l_{11} & 0 & 0 \\ l_{21} & l_{22} & 0 \\ l_{31} & l_{32} & l_{33} \end{bmatrix} \cdot \begin{bmatrix} 1 & u_{12} & u_{13} \\ 0 & 1 & u_{23} \\ 0 & 0 & 1 \end{bmatrix}$$

Bu eşitlikten yararlanarak bilinmeyen x değerleri çözülür [11].

Ana menüden 3. buton çalıştırılarak Şekil 3.4'teki LU Crout menüsüne ulaşılabilir.



Şekil 3.4. LU -Crout çözümleme yöntemi programı.

Örnek 3.3.

A=

|        |         |         |         |         |         |         |         |
|--------|---------|---------|---------|---------|---------|---------|---------|
| 4.3800 | 0.5900  | 0.4400  | 0.1200  | 0.8000  | 0.8400  | 0.3900  | 0.1600  |
| 0.0900 | 81.9300 | 0.3500  | 0.4500  | 0.9100  | 0.1700  | 0.5900  | 0.8700  |
| 0.0400 | 0.3700  | 43.1700 | 0.7200  | 0.2300  | 0.1700  | 0.1200  | 0.2400  |
| 0.6100 | 0.6300  | 0.6800  | 89.9300 | 0.2400  | 0.9900  | 0.0400  | 0.6500  |
| 0.6100 | 0.7200  | 0.7000  | 0.2700  | 73.5400 | 0.4400  | 0.4600  | 0.9700  |
| 0.0200 | 0.6900  | 0.7300  | 0.2500  | 0.0800  | 69.0700 | 0.8700  | 0.6600  |
| 0.0200 | 0.0800  | 0.4800  | 0.8700  | 0.6400  | 0.3100  | 35.5500 | 0.8700  |
| 0.1900 | 0.4500  | 0.5500  | 0.2300  | 0.1900  | 0.3700  | 0.2600  | 16.6100 |

$$C = [-23.49 \ 87.25 \ 170.88 \ -530.36 \ 227.13 \ 141.59 \ -136.83 \ 117.43]^T$$

**Tablo 3.5.** Örnek 3.3'ün LU-Crout çözümü yöntemi ile ve değişik değişken türleri kullanılarak elde edilen çözümünün sonuçları.

| LU | C Float               | C Long Double            |
|----|-----------------------|--------------------------|
| X1 | -2.000000000000000000 | -1.999999999999997622340 |
| X2 | 0.999999940395355225  | 0.99999999999999161912   |
| X3 | 4.000000476837158200  | 3.99999999999997272150   |
| X4 | -6.000000000000000000 | -5.99999999999997055310  |
| X5 | 3.000000000000000000  | 2.99999999999996849310   |
| X6 | 2.000000238418579100  | 2.000000000000002504510  |
| X7 | -4.000000476837158200 | -4.000000000000006865170 |
| X8 | 6.999999523162841800  | 7.000000000000006583280  |

|    | C++ Float             | C++ Long Double      | G  |
|----|-----------------------|----------------------|----|
| X1 | -2.000000000000000000 | -1.9999999999999760  | -2 |
| X2 | -0.999999940395355225 | 0.9999999999999916   | 1  |
| X3 | 4.000000476837158200  | 3.9999999999999730   | 4  |
| X4 | -6.000000000000000000 | -5.9999999999999710  | -6 |
| X5 | 3.000000000000000000  | 2.9999999999999680   | 3  |
| X6 | 2.000000238418579100  | 2.00000000000000250  | 2  |
| X7 | -4.000000476837158200 | -4.00000000000000690 | -4 |
| X8 | 6.999999523162841800  | 7.00000000000000660  | 7  |

**Tablo 3.6.** Örnek 3.3'ün LU-Crout çözümü yöntemi ile ve değişik değişken türleri kullanılarak elde edilen çözümünün sonuçların hataları.

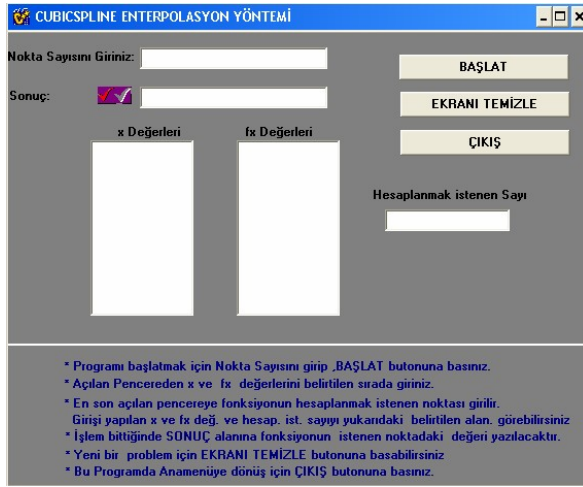
|    | % Hata C Float          | % Hata C Long Double  |
|----|-------------------------|-----------------------|
| X1 | 0.000000000000000000    | 0.0000000000011102230 |
| X2 | 0.000005960464477539062 | 0.0000000000011102230 |
| X3 | 0.000011920928955078125 | 0.0000000000011102230 |
| X4 | 0.000000000000000000    | 0.000000000000000000  |
| X5 | 0.000000000000000000    | 0.0000000000014802973 |
| X6 | 0.000011920928955078125 | 0.0000000000022204460 |
| X7 | 0.000011920928955078125 | 0.0000000000022204460 |
| X8 | 0.000006811959402901785 | 0.0000000000012688263 |

|    | % Hata C++ Float        | % Hata C++ Long Double |
|----|-------------------------|------------------------|
| X1 | 0.000000000000000000    | 0.00000000000111022302 |
| X2 | 0.000005960464477539062 | 0.00000000000111022302 |
| X3 | 0.000011920928955078125 | 0.00000000000111022302 |
| X4 | 0.000000000000000000    | 0.000000000000000000   |
| X5 | 0.000000000000000000    | 0.00000000000148029737 |
| X6 | 0.000011920928955078125 | 0.00000000000222044605 |
| X7 | 0.000011920928955078125 | 0.00000000000222044605 |
| X8 | 0.000006811959402901785 | 0.00000000000126882631 |

### 3.4. Cubicspline Enterpolasyon Yöntemi

Deney sonucu veya benzer çalışmalar için bilinen değerleri kullanarak bilinmeyen noktalardaki değerleri yaklaşık olarak belirleme işlemine enterpolasyon denilmektedir. Bilinmeyen değerler bilinen değerlerin arasında bir noktada ise bilinen noktalar kullanılarak bulunabilir. Ancak istenen nokta bilinen değerlerin dışında bir yerde ise öncelikle bu noktaları sağlayan bir eşitlik bulunur. Daha sonra bu eşitlikten bilinmeyen nokta verilerek istenen karşılığı elde edilir [10].

Ana menüden 4. buton çalıştırılarak Şekil 3.5'teki Cubicspline menüsüne ulaşılabilir.



Şekil 3.5. Cubicspline enterpolasyon yöntemi programı.

#### Örnek 3.4.

$x=(0.08823, 0.14706, 0.20588, 0.26471, 0.32353, 0.38235, 0.44118, 0.5, 0.55882, 0.61765, 0.67647, 0.73529, 0.79412, 0.85294, 0.91176)$

$f(x)=(0.185, 0.21, 0.23, 0.255, 0.28, 0.31, 0.34, 0.38, 0.42,, 0.45, 0.50, 0.54, 0.59, 0.65, 0.69)$

**Tablo 3.7.** Örnek 3.4'ün cubicspline yöntemi ile ve değişik değişken türleri kullanılarak elde edilen çözümünün sonuçları.

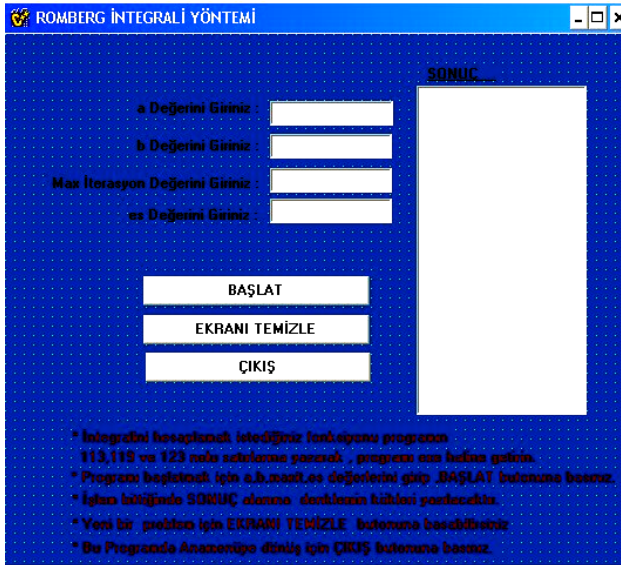
| C float              | C long double        | C++ Builder Float    | C++ Builder Long Dou |
|----------------------|----------------------|----------------------|----------------------|
| 0.295075476169586182 | 0.280420035069537383 | 0.295075505971908569 | 0.280420035069537383 |

### 3.5. Romberg İntegrali

Fonksiyonların integrali nümerik yöntemlerde yamuk, simpson, Gauss, Romberg integrasyon yöntemleri ile çözülür. Bunlardan Romberg integrasyon yöntemi aşağıdaki formül yardımıyla iterasyonla çözülen yöntemdir [1].

$$I_{j,k} \cong \frac{4^{k-1} I_{j+1,k-1} - I_{j,k-1}}{4^{k-1} - 1}$$

Burada  $I_{j+1,k-1}$  ve  $I_{j,k-1}$  sırasıyla en yüksek ve en düşük hassasiyetteki integrallerdir. Ana menüden 5. buton çalıştırılarak Şekil 3.6'daki Romberg İntegrali menüsüne ulaşılabilir.



Şekil 3.6. Romberg integrali yöntemi programı.

Örnek 3.5.

$f(x)=0.2+25x-200x^2+675x^3-900x^4+400x^5$  fonksiyonunun  $[0,0.8]$  aralığındaki integralini romberg yöntemi ile bulunuz.

a değeri= 0    b değeri=0.8    Max iterasyon değeri=4    es değeri=1

**Tablo 3.8.** Örnek 3.5'in Romberg yöntemi ile bulunan integral değerleri.

| <i>Romberg integrali (C++ Float)</i> | <i>Romberg integrali (C++ LD)</i> |
|--------------------------------------|-----------------------------------|
| 1.367466688156127930                 | 1.367466666666666730              |
| 1.623466610908508300                 | 1.623466666666666250              |
| 1.640533328056335450                 | 1.640533333333332880              |
| 1.639466524124145510                 | 1.639466666666666420              |
| 1.640533208847045900                 | 1.64053333333333100               |
| 1.640533208847045900                 | 1.64053333333333100               |
| 1.640466451644897460                 | 1.640466666666666730              |
| 1.640533089637756350                 | 1.64053333333333420               |
| 1.640533089637756350                 | 1.64053333333333420               |
| 1.640533089637756350                 | 1.64053333333333420               |
| 1.640533089637756350                 | 1.64053333333333420               |

Gerçek Değeri=1.640533

**Tablo 3.9.** Örnek 3.5 'nin romberg yöntemi ile bulunan integral değerlerinin hataları.

| %Hata (C++ Float)       | %Hata (C++ LD)          |
|-------------------------|-------------------------|
| 0.000005463941069762083 | 0.000020318599712410539 |

### 3.6. Runge-Kutta Yöntemi

Runge Kutta Formülleri yardımıyla elde edilirler [12]. Runge Kutta yöntemlerinde  $n$  arttıkça hassasiyet artar. Birçok çözümde 4. mertebeden Runge Kutta yöntemi yeterli olurken, daha hassas çözüm isteyen durumlarda yüksek dereceden Runge Kutta yöntemleri kullanılır. Burada 6. mertebeden Runge Kutta yöntemini kullanan program yazılmıştır.

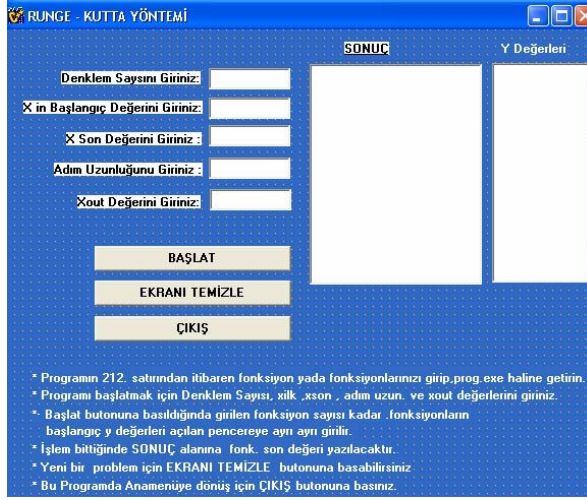
Ana menüden 6. buton çalıştırılarak Şekil 3.7'deki Runge-Kutta menüsüne ulaşılabilir.

Örnek 3.6.

$$y' = 4 * \exp(0.8 * x) - 0.5 * y \quad Y(0) = 0.5 \quad h = 0.5 \quad X_{out} = 0.5$$

**Tablo 3.10.** Örnek 3.6'nın Runge-Kutta yöntemi ile bulunan sonuçları.

| $X$ | $Y$ C Float          | $Y$ C Long Double       |
|-----|----------------------|-------------------------|
| 0   | 2.000000000000000000 | 2.000000000000000000    |
| 0.5 | 3.75152206420898438  | 3.751522082653013334501 |



Şekil 3.7. Yüksek dereceden Runge-Kutta yöntemi programı.

**Tablo 3.11.** Örnek 3.6'nın Runge-Kutta yöntemi ile bulunan sonuçların hataları.

| $X$ | $Y$ (Runge-Kutta Yöntemi) | $Y_{true}$ | Hatası (%)        |
|-----|---------------------------|------------|-------------------|
| 0   | 2.00000000000000000000    |            |                   |
| 0.5 | 3.751522082653013270      | 3.751521   | 0,000028859041793 |

#### 4. SONUÇ VE ÖNERİLER

Son yıllarda bilgisayarların hız ve kapasitelerinin artması; pek çok mühendislik problemlerinin de bilgisayarlarda çözülmesini, nümerik analiz yöntemlerinin artmasını, yeni algoritmaların gelişmesini sağlamıştır. Bu ise gerek algoritmik yöntemlerden gerekse bilgisayarların yapılarından kaynaklanan hataları da beraberinde getirmiştir.

Bu çalışmada nümerik yöntemlerdeki hataların analizi yapılmıştır. Nümerik metotların konularından birer yöntem seçilerek bir nümerik yöntem paketi hazırlanmıştır. Bu yöntemlerde değişik hassasiyette değişkenler kullanılarak örnekler çözülmüş, sonuçlar ve hatalar tablolar ve grafikler yardımıyla gösterilmiştir. Her yöntemin tanımı yapılarak, menülerle çalışması açıklanmıştır. Bazı yöntemlerde, sonuca ulaşmak için dikkat edilmesi gereken hususlar üzerinde durulmuştur.

Tablo 3.4 ve Tablo 3.6'daki sonuçlarda görüldüğü gibi değişkenleri çift duyarlıklı ve uzun çift duyarlıklı alınan durumlarda hataların daha az olduğu görülmektedir. Tablo 3.9'da ise normal duyarlıklı değerlerde hatalar daha az gibi gözükse de bunun nedeni hata hesaplarında gerçek değerlerin alınması ve işlemlerde yuvarlatma yapılmasıdır.

Aslında değişkenlerin normal, çift duyarlıklı ve uzun çift duyarlıklı alınarak yapılan işlemlerdeki büyük farklar, iterasyonlarla yapılan işlemler ve büyük denklem sistemlerinin çözümlerinde daha belirgin olur.

Değişik yöntemlerle de programlar yazılarak nümerik paket geliştirilebilir. Bu pakette Romberg ve Runge Kutta yöntemlerinde fonksiyonlar sabit olarak verilmiştir. Yani her yeni fonksiyon için, fonksiyon girildikten sonra programın tekrar derlenmesi gerekir. İdeal olanı ise fonksiyonların ekrandan girilebilecek hale getirilmeleridir. Ayrıca bu paket, daha değişik örneklerle denenip değişik sonuçlar alınabilir.

## KAYNAKLAR

1. Chapra, S. C. ve Canale, R.P., **Numerical Methods for Engineers** McGraw-Hill, 1998.
2. Kulkarni, R. P. ve Limaye, V., Solution of a Schrödinger Equation by Iterative Refinement, **J Austral Math Soc Ser B**, 32, s. 115-132, 1990.
3. Banks, L. ve Chu, E., Parallel Gauss-Seidel Relaxation on Distributed-Memory Multiprocessor, **J.Comput.Inf.**, 1, No 2, s. 434-450, 1995.
4. Chang, X.-W., On the Sensitivity of the LU Factorization, **BIT**, 3, s. 486-501, 1998.
5. Langlois, P. ve Nativel, F., Reduction and Bounding of the Rounding Error in Floating Point Arithmetic, **C.R.Acad.Sci. Paris**, 1, s. 781-786, 1998.
6. Calvo, M., Gonzales, S., Montijano, J.I., On the Iterative Solution of the Algebraic Equations in Fully Implicit Runge-Kutta Methods, **Numerical Algorithms**, 23 ,s. 97-113, 2000.
7. Gurwitz, C., A Test for Cancellation Errors in Quasi-Newton Methods, **ACM**, s.134-140, 2000.
8. Robertazzi, T.G. ve Schwartz, S.C., Best "Ordering" for Floating-Point Addition, **ACM**, s.101-110, 2000.
9. Aslan, C., **Nümerik Yöntemlerde Hata Analizi ve C++ Builder ile Yazılan Bir Nümerik Çözüm Paketinin Hazırlanması**, Master Tezi, Gazi Üniversitesi Fen Bilimleri Enstitüsü, 2002.
10. James, M.L., Smith, G.M., Wolford, J.C. **Applied Numerical Methods for Digital Computation**, Harper Collins, 1993.
11. Hoffmann, J.D., **Numerical Methods for Engineers and Scientists**, McGraw-Hill, 1993.
12. Fausett, L.V., **Applied numerical analysis using matlab**,Prentice Hall, 1999.
13. Ping-Tang, T.P, Table-Driven Implementation of the Logarithm Function in IEEE Floating Point Arithmetic, **ACM Transaction on Mathematical Software**, 4, s. 378-400., 1990.